

**Dacă aş fi avut mai mult timp ţi-aş fi scris
o scrisoare mai scurtă.**

(atribuită cînd lui B.Pascal cînd lui Voltaire)

Multivibrator cu amplificator operational.

Multivibrator cu amplificator operational.

1. Scopul lucrării.

În prezența lucrare se studiază funcționarea unor multivibratoare realizate cu amplificatoare operaționale.

2. Consideratii teoretice.

Cel mai simplu generator de impulsuri dreptunghiulare realizat cu un amplificator operațional este prezentat în figura 1. Reacția pozitivă asigurată prin rezistențele R_1 și R_2 este foarte puternică și face ca tensiunea de ieșire să ia numai valorile limită V_{OM} și V_{om} . Potențialul aplicat la intrarea neinversoare, considerînd amplificatorul ideal este:

$$v_i^+ = V_{ref} + \frac{R_1}{R_1 + R_2} (V_0 - V_{ref}) \quad (1)$$

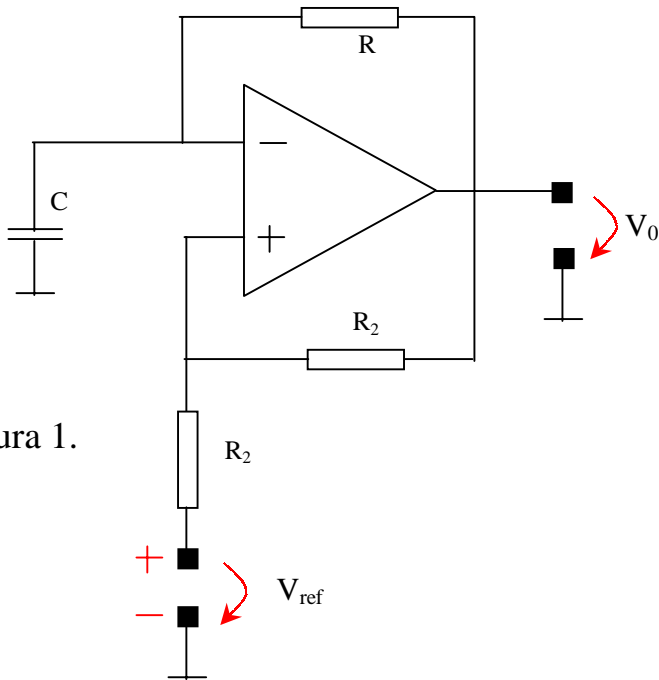


Figura 1.

Deoarece tensiunea de ieșire ia numai cele două valori, V_{OM} și V_{om} , la intrarea neiversoare se va aplica potențialul :

$$v_p = V_{ref} + \frac{R_1}{R_1 + R_2} (V_{OM} - V_{ref}) = \frac{V_{OM} \cdot R_1 + V_{ref} \cdot R_2}{R_1 + R_2} \quad (2)$$

sau

$$v_p = V_{ref} + \frac{R_1}{R_1 + R_2} (V_{om} - V_{ref}) = \frac{V_{om} \cdot R_1 + V_{ref} \cdot R_2}{R_1 + R_2} \quad (3)$$

Dacă $V_i^- < V_p$, amplificatorul are la ieșire V_{OM} . Cresînd V_i^- , atît timp cît $V_i^- < V_p$, la ieșire este V_{OM} . Dacă V_i^- depășește valoarea lui V_p , amplificatorul basculează și ieșirea devine V_{om} . Dacă se scade

V_i^- , la ieșire se menține valoarea V_{om} atât timp cât $V_i^- > V_p$ (se observă din relațiile (2) și (3) că $V_p > V_p$, deoarece $V_{OM} > V_{om}$). Dacă V_i^- scade sub valoarea V_p , amplificatorul basculează și ieșirea devine V_{OM} .

Perioada de oscilație a multivibratorului din figura 1. este dictată de grupul de temporizare R,C. Considerind amplificatorul ideal se poate scrie relația:

$$R \cdot C \cdot \frac{dU_c}{dt} + U_c = V_0 \quad (4) \quad \text{unde} \quad U_c = V_i^-$$

Formele de undă sunt date în figura 2.

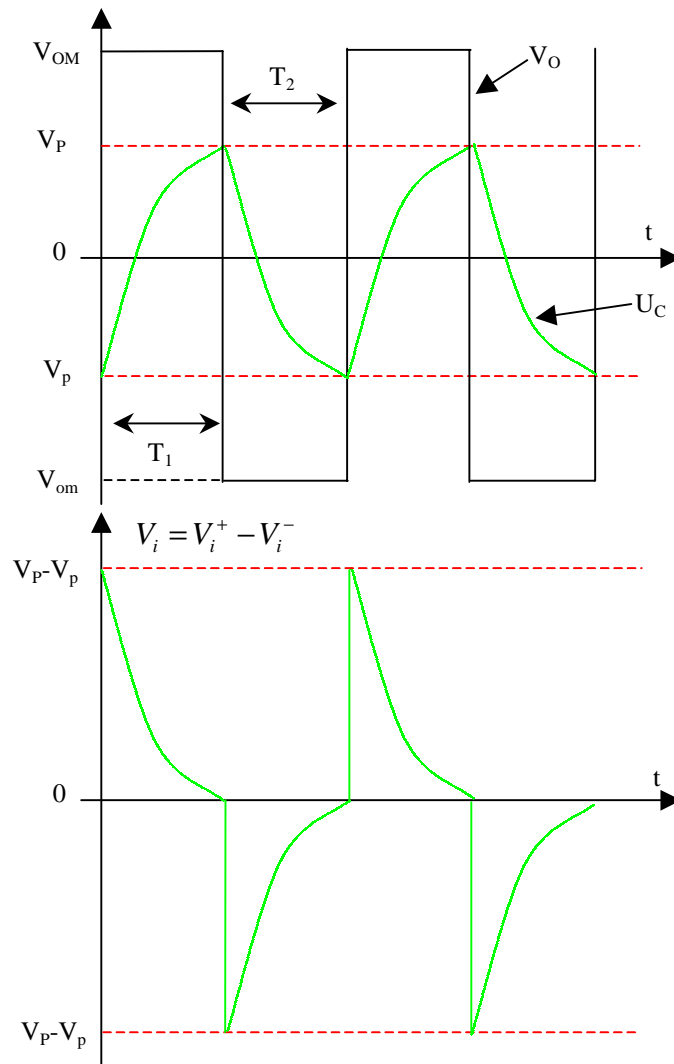


Figura 2.

Pentru $t < 0$, ieșirea amplificatorului este saturată la valoarea V_{OM} . Presupunem că la $t = 0$, tensiunea pe condensator, $U_c = V_i^-$, devine mai negativă decât V_p . În acest moment amplificatorul basculează și ieșirea să devină V_{OM} . Pentru intervalul $(0, T_1)$, în care este îndeplinită condiția $U_c = V_i^- < V_p$, condensatorul se încarcă prin R de la ieșirea V_{OM} și se poate scrie relația:

$$R \cdot C \cdot \frac{dU_c(t)}{dt} + U_c(t) = V_{OM} \quad (5)$$

cu $U_C(0) = V_p$.

Legea de variație a tensiunii prin condensator este :

$$U_C(t) = (V_p - V_{OM}) e^{-\frac{t}{R \cdot C}} + V_{OM} \quad (6)$$

La momentul $t = T_1$, $U_C = V_p$ și deci:

$$V_p = (V_p - V_{OM}) e^{-\frac{T_1}{R \cdot C}} + V_{OM} \quad (7)$$

De unde:

$$T_1 = R \cdot C \cdot \ln \frac{V_{OM} - V_p}{V_{OM} - V_p} \quad (8)$$

Îndată ce V_i^- depășește valoarea V_p , amplificatorul rebaseculează în starea V_{om} și în intervalul T_2 , condensatorul se încarcă de la ieșirea V_{om} prin R . Acum se poate scrie relația :

$$R \cdot C \cdot \frac{dU_C(t)}{dt} + U_C(t) = V_{om} \quad (9)$$

cu $U_C(0) = V_p$.

Legea de variație a tensiunii pe condensator, considerind originea timpului după perioada T_1 , este:

$$U_C(t) = (V_p - V_{om}) e^{-\frac{t}{R \cdot C}} + V_{om} \quad (10)$$

La momentul $t = T_2$, $U_C = V_p$ și deci:

$$V_p = (V_p - V_{om}) e^{-\frac{T_2}{R \cdot C}} + V_{om} \quad (11)$$

de unde:

$$T_2 = R \cdot C \cdot \ln \frac{V_{OM} - V_p}{V_{OM} - V_p} \quad (12)$$

Dacă în relațiile care dau pe T_1 și T_2 se înlocuiesc V_p și V_p cu valorile deduse în relațiile (2) și (3), și se ține cont că $V_{OM} = -V_{om}$, atunci:

$$T_1 = R \cdot C \cdot \ln \frac{1 + 2 \cdot \frac{R_1}{R_2} - \frac{V_{ref}}{V_{OM}}}{1 - \frac{V_{ref}}{V_{OM}}} \quad (13)$$

$$T_2 = R \cdot C \cdot \ln \frac{1 + 2 \cdot \frac{R_1}{R_2} + \frac{V_{ref}}{V_{OM}}}{1 - \frac{V_{ref}}{V_{OM}}} \quad (13')$$

iar perioada semnalului este : $T = T_1 + T_2$ (14)

Se observă că prin variația lui V_{ref} se modifică atât perioada cât și simetria impulsurilor, în timp ce prin variația elementelor R și C , se modifică doar perioada.

Pentru $V_{ref} = 0$,

$$T_1 = T_2 = \frac{T}{2} = R \cdot C \cdot \ln\left(1 + 2 \cdot \frac{R_1}{R_2}\right) \quad (15)$$

Fronturile impulsurilor generate sunt dictate de viteza maximă de variație a tensiunii de ieșire, SR, proprie amplificatorului operațional și tipului de corecție de frecvență folosit. Pentru amplificatoarele operaționale de uz general durata fronturilor este de ordinul μs sau zeci de μs . În consecință, asemenea generatoare de impulsuri se folosesc numai în frecvențe audio.

Trebuie observat că tensiunea diferențială de intrare (figura 2.), ia valori mari, ce pot depăși tensiunea maximă admisibilă pentru amplificatoarele operaționale. În aceste cazuri trebuie folosită o schemă de protecție pentru intrare.

Din relațiile pentru T_1 și T_2 se constată că frecvența de oscilație este influențată de nivelele limită ale tensiunii de ieșire V_{OM} și V_{om} și deci și de sursele de alimentare.

Circuitul poate fi îmbunătățit limitând semnalul generat cu ajutorul a două diode Zenner, montate ca în figura 3.

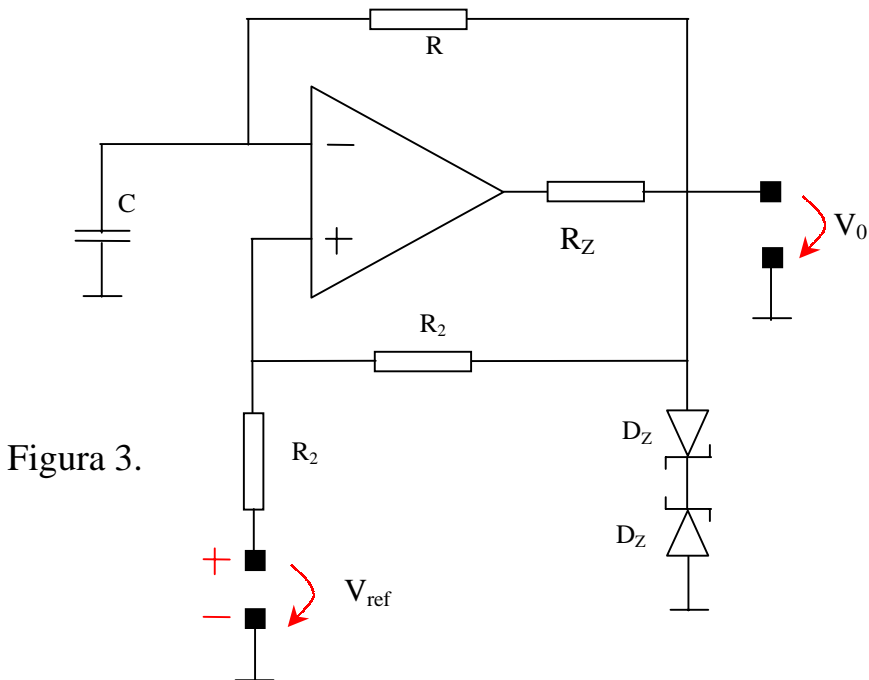


Figura 3.

Rezistența R_Z determină curentul prin diode. Pentru acest circuit stabilitatea frecvenței depinde în primul rînd de stabilitatea diodelor Zenner și a celorlalte componente passive și în foarte mică măsură de tipul și performanțele amplificatorului. Simetria formei de undă generate este dată de împerecherea celor două diode Zenner. Telațiile pentru T_1 și T_2 se păstrează dacă se înlocuiește V_{OM} cu $V_Z + V_D$ (unde V_D este tensiunea pe o diodă Zenner polarizată direct).

O variantă îmbunătățită este prezentată în figura 4., în care încărcarea și descărcarea condensatorului este asigurată prin generatoare de curent constant realizate cu tranzistoarele T_1 și T_2 . În acest caz tensiunea U_C este liniar variabilă și poate fi scoasă la ieșirea altui amplificator operațional, în

montaj de repetor. Prin variația polarizării bazelor tranzistoarelor T_1 și T_2 se pot modifica curenții de încărcare și de descărcare și astfel se poate modifica simetria undei generate.

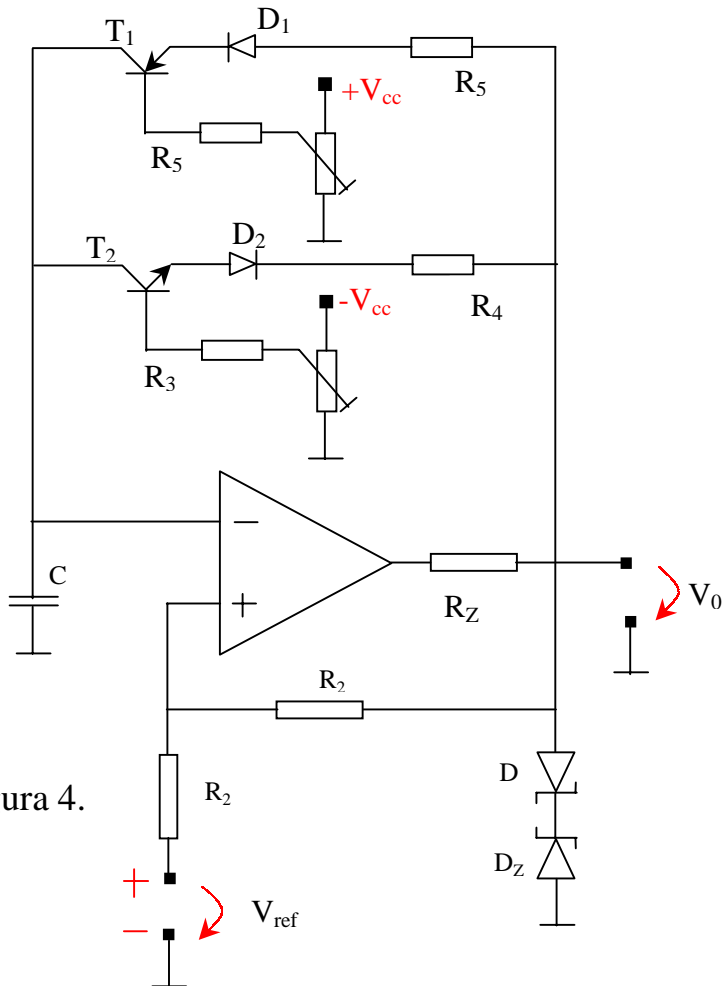


Figura 4.

3. Dispozitivul de laborator.

Montajul este realizat cu un amplificator operațional βA 741 și are schema din figura 5. Alimentarea montajului se face de la o sursă dublă în intervalul $\pm 5 - \pm 12$ V. În legătură cu acest monaj se are în vedere că pentru amplificatorul βA 741 tensiunea diferențială de pe intrare poate fi de maximum ± 30 V. Deasemenea, viteza maximă de variație a tensiunii de ieșire este de 0.5 V/ μ s.

4. Desfășurarea lucrării.

4.1. Se alimentează montajul la o tensiune de ± 10 V.

4.2. Se realizează montajul din figura 1. Drept sursă de referință se folosește potențiometrul și cele două rezistențe inseriate, alimentate la ± 10 V. Se realizează reacția negativă cu o rezistență de $27\text{ k}\Omega$. Se oscilografiază formele de undă de la ieșire V_0 , de la intrările v_i^- și v_i^+ și tensiunea diferențială de intrare. Se fixează V_{ref} la valorile ± 2 V, ± 1 V și ± 0 V și se verifică relațiile pentru T_1 și T_2 (prin calcularea valorilor calculate cu relațiile (12), (13) cu cele măsurate cu osciloscopul). Se modifică tensiunea de alimentare între limitele ± 8 V și ± 12 V și se observă influența acesteia asupra perioadei semnalului generat.

4.3. Se realizează montajul din figura 3. Reacția negativă se realizează cu două rezistențe de $27\text{ k}\Omega$ montate în paralel și inseriate cu potențiometrul și o rezistență de $12\text{ k}\Omega$ (legătura la cursor și la capătul unei rezistențe). Se dau cinci valori pentru rezistența r și se verifică relația de calcul pentru T . Se crește tensiunea de alimentare la ± 12 V și se observă influența acestei variații asupra perioadei semnalului generat.

4.4. Se realizează montajul din figura 4. Polarizarea tranzistorului BC 178 se realizează cu potențiometrul și cele două rezistențe, alimentate între V_{CC} masă. Se oscilografiază formele de undă de la ieșirea V_0 , de la intrările V_i^- și V_i^+ și tensiunea diferențială de intrare. Se modifică polarizarea bazei tranzistorului BC 178 și se observă influența acestei variații asupra intervalor T_1 și T_2 ale perioadei semnalului generat.

4.5. Se calculează timpii fronturilor de creștere și descreștere ale semnalului generat.

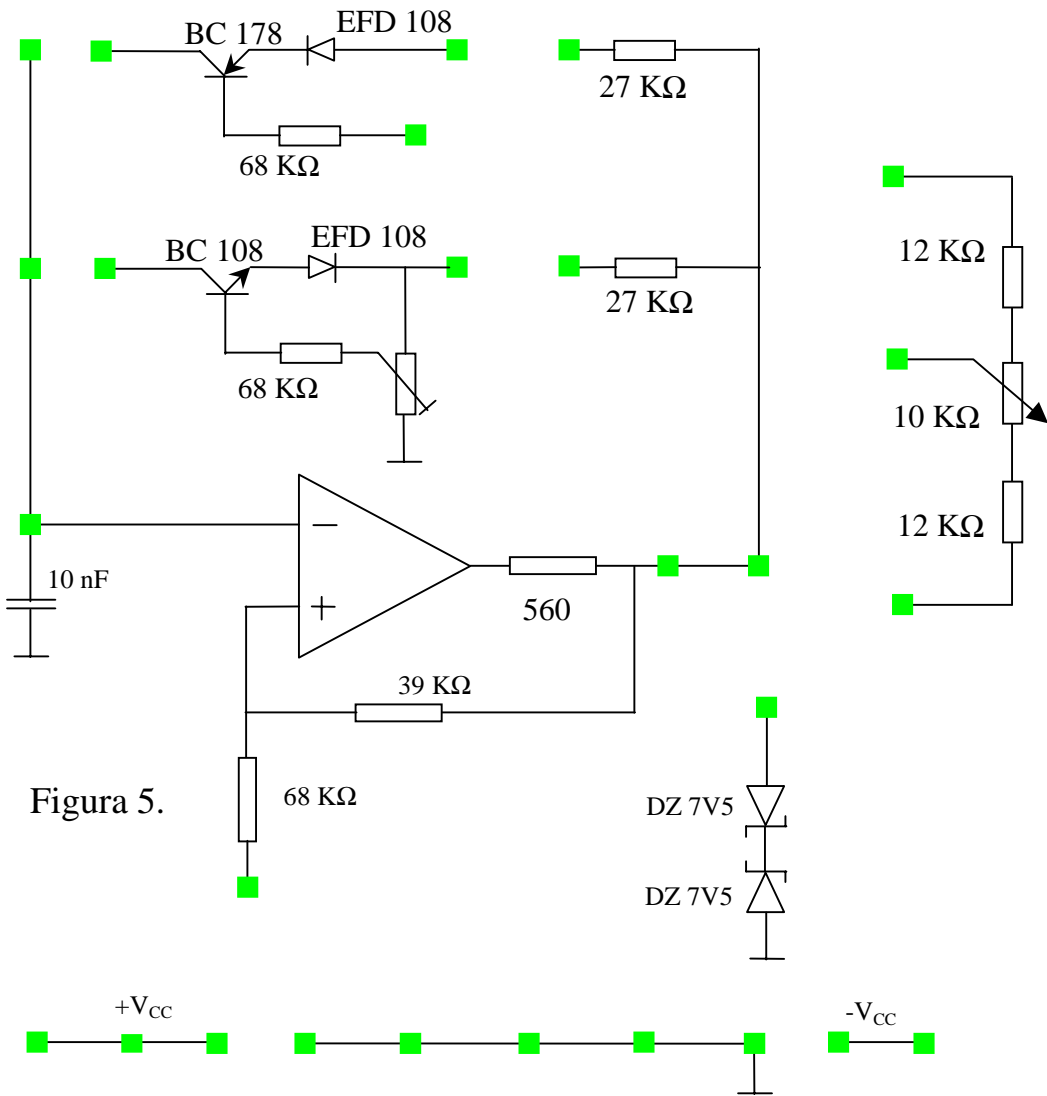


Figura 5.